

ΙΑΤΡΙΚΗ.— Ἡπαρ ἡ ἡπατοκύτταρα; Λειτουργική καὶ Μορφολογικὴ ἐκτίμηση δύο συστημάτων ἔξωσωματικῆς ὑποστήριξης τῆς ἡπατικῆς λειτουργίας, ὑπὸ Γ. Κωστοπαναγιώτου, A. Παπαλόη, N. Ἀρκαδόπουλου, B. Σμυρνιώτη, I. Παπαδημητρίου, K. Τούντα, διὰ τοῦ Ἀκαδημαϊκοῦ κ. Κωνσταντίνου Τούντα*.

ΕΙΣΑΓΩΓΗ

Ἡ ταχέως ἔξελισσόμενη (κεραυνοβόλος) ἡπατικὴ ἀνεπάρκεια (KHA) παραμένει μεταξύ τῶν δυσχερέστερα ἀντιμετωπιζόμενων ἰατρικῶν προβλημάτων σήμερα καὶ ἀφορᾶ στὴν ταχεῖα καταστροφὴ τοῦ ἡπατικοῦ παρεγχύματος.

Εἶναι γνωστὸ δότι τὸ ἡπαρ ἀποτελεῖ ἔνα ἀπὸ τὰ πλέον ζωτικὰ ὄργανα γιὰ τὴ διατήρηση τῆς ὁμοιοστασίας τοῦ ὄργανισμοῦ καὶ σοβαρὴ διαταραχὴ τῆς λειτουργίας του προκαλεῖ ἐπίσης σοβαρὴ διαταραχὴ καὶ τῆς λειτουργίας τῶν ὄλλων ὄργανικῶν συστημάτων (ἀναπνευστικοῦ, πεπτικοῦ, κεντρικοῦ νευρικοῦ, αἱμοποιητικοῦ, νεφρικοῦ, καρδιαγγειακοῦ, ἀνοσιακοῦ), μὲ ἀποτέλεσμα τὴν ἐμφάνιση συνδρόμου δξείας ἀναπνευστικῆς δυσχέρειας, νεφρικῆς ἀνεπάρκειας, αἱμορραγικῶν ἐπιπλοκῶν, ἐγκεφαλοπάθειας, λοιμώξεων, καρδιαγγειακῶν ἐπιπλοκῶν.

Ἡ συντηρητικὴ ἀντιμετώπιση τῆς KHA εἶναι σχετικῶς ἀναποτελεσματικὴ γιὰ μεγάλο ἀριθμὸ ἀσθενῶν. Τοιουτοτρόπως, παρὰ τὶς προόδους στὸν τομέα τῆς ἐντατικῆς ὑποστήριξης τῶν βαρέως πασχόντων ἀσθενῶν, ἡ θυητότητα κυμαίνεται μεταξὺ 65 ἔως 95% καὶ 90 ἔως 95% γιὰ ἀσθενεῖς μὲ 40 στάδιο ἐγκεφαλοπάθειας. Ἡ μόνη θεραπευτικὴ λύση παραμένει ἡ ἐπείγουσα μεταμόσχευση τοῦ ἡπατος, ἡ ὅποια καὶ μειώνει τὴ θυητότητα σὲ 20-40%. "Ομως, ὁ περιορισμένος ἀριθμὸς ἡπατικῶν μοσχευμάτων καὶ ἡ δυσχέρεια τῆς ἔγκαιρης ἀνεύρεσης τοῦ καταλλήλου μοσχεύματος, καθιστοῦν τὴ θεραπεία ἔξαιρετικῶς δύσκολη. Τὸ 90% τῶν ἀσθενῶν μὲ KHA ἀναπτύσσουν μὴ ἀναστρέψιμη νευρολογικὴ βλάβη, ἀνεπάρκεια ὄλλου ὄργάνου ἐκτὸς τοῦ ἡπατος ἡ σηπτικὴ κατάσταση, ἐνῶ ἀναμένουν τὴν πραγματοποίηση τῆς ἡπατικῆς μεταμόσχευσης.

Ο συνδυασμὸς τῆς βαρύτητας τῆς νόσου καὶ τῆς δυσχέρειας ἀνεύρεσης μοσχευμάτων ἐπέβαλαν τὴν ἀνάγκη ἀνάπτυξης συστημάτων προσωρινῆς ὑποστήριξης τῆς ἡπατικῆς λειτουργίας ως «γέφυρας» γιὰ τὴ μεταμόσχευση.

* G. KOSTOPANAGIOTOU, A. PAPALOIS, N. ARKADOPoulos, B. SMYRNiotis, J. PAPADIMITRIOU, C. TOUNTAS, Liver or hepatocytes? Functional and morphological evaluation of two extracorporeal liver support systems.

‘Η έρευνα πρός αύτό τὸ σκοπὸ δρχισε τὴ δεκαετία τοῦ 1950 μὲ τὴν ἐφαρμογὴν αἰμοδιάλησης, αἱμοπροσόρφησης, πλασμαφαίρεσης καὶ διαφόρων ἄλλων τεχνικῶν μὲ πτωχὰ ἀποτελέσματα. ‘Η βελτίωση τῶν σύγχρονων τεχνικῶν ἀπομόνωσης τῶν ἡπατοκυττάρων καὶ μεταμόσχευσής τους, ἡ χρησιμοποίησή τους σὲ ἔξωσωματικὰ κυκλώματα, ἀποτελεῖ τὴν μελλοντικὴν ἀποτελέσματικὴν μέθοδον ὑποστήριξης τῆς ἡπατικῆς λειτουργίας.

‘Η σημαντικὴ ἔνδεια πτωματικῶν διοτῶν καὶ οἱ ὅλοι αὐξανόμενες ἀνάγκες στὴν Ἑλλάδα ὁδήγησαν τὴν ἔρευνητική μας ὁμάδα στὴν ἀνάπτυξη κυκλώματος ἔξωσωματικῆς ὑποστήριξης τῆς ἡπατικῆς λειτουργίας, ποὺ νὰ μπορεῖ νὰ ἐφαρμοστεῖ σὲ περιπτώσεις:

1. Κεραυνοβόλου ἡπατικῆς ἀνεπάρκειας (ἰογενοῦς ἢ τοξικῆς) μέχρις ἀνανήψεως τοῦ φυσικοῦ ἡπατος ἢ ἀνευρέσεως καταλλήλου μοσχεύματος.
2. Πρωτοπαθοῦς μὴ λειτουργίας τοῦ ἡπατικοῦ μοσχεύματος, στὶς περιπτώσεις ποὺ ἔχει πραγματοποιηθεῖ μεταμόσχευση καὶ τὸ μόσχευμα δὲν λειτουργεῖ φυσιολογικά, μέχρι τὴν ἀνεύρεση νέου μοσχεύματος (ἐπαναμεταμόσχευση).
3. Ἐκτεταμένης ἡπατεκτομῆς, μέχρι ἀνανήψεως τοῦ ἐναπομείναντος ἡπατικοῦ ἴστοῦ.
4. Ἐπὶ χρονίας ἡπατικῆς ἀνεπάρκειας, ἐπιπλεκομένης ἀπὸ λοίμωξη ἢ ἐπεισόδιο ἐγκεφαλοπάθειας, μέχρις ἀποτελεσματικῆς ἀντιμετωπίσεως τῆς ἐπιπλοκῆς.

Σκοπὸς τοῦ παρόντος ἔρευνητικοῦ πειραματικοῦ πρωτοκόλλου εἶναι ἡ ἔπειτα ἀπὸ ἀνάπτυξη ὀξείας ἡπατικῆς ἀνεπάρκειας ἐφαρμογὴ ἔξωσωματικῆς ὑποστήριξης τῆς ἡπατικῆς λειτουργίας μὲ δύο διαφορετικὲς μεθόδους: 1) μὲ χρήση ὀλικοῦ ἡπατος καὶ 2) ἀπομονωμένων ἡπατοκυττάρων, ἡ λειτουργικὴ καὶ μορφολογικὴ μελέτη καὶ ἀξιολόγηση τῶν δύο αὐτῶν συστημάτων.

‘Ομάδα Ἐφαρμογῆς Κυκλώματος ἔξωσωματικῆς ὑποστήριξης τῆς ἡπατικῆς λειτουργίας (Κ.Ε.Υ.Η.Λ.) μὲ χρήση ὀλοκλήρου τοῦ “Ἡπατος”.

‘Υλικὸ καὶ Μέθοδος

Πειραματόζωα (ἀναισθησίᾳ καὶ παρακολούθηση πειραματοζώων): Δέκα χοῖροι μέσου σωματικοῦ βάρους 25-35 kg ἀπαιτήθηκαν γιὰ τὴν μελέτη, ἡ ὁποία πραγματοποιήθηκε σύμφωνα μὲ τὶς διεθνεῖς δεοντολογικὲς ἀρχὲς ποὺ διέπουν τὴν πειραματικὴν ἔρευνα. Μετὰ ἀπὸ 24ωρη στέρηση τροφῆς, χορηγήθηκαν ἐνδομυϊκῶς 10 mg/kg κεταμίνης καὶ 0,5 mg/kg διαζεπάμης. Τὸ παραπάνω προαναισθητικὸ σχῆμα ἐπέτρεψε τὴν

μετά παρέλευση είκοσαλέπτου τοποθέτηση φλεβοκαθετήρα 22 G σε φλέβα του ώτος. Φάρμακο είσαγωγής στήν άναισθησία ήταν ή νατριούχος θειοπεντάλη σε δόση 5 mg/kg ή όποια συνεχίστηκε και ἔπειτα ἀπό διασωλήνωση τῆς τραχείας σε δόση 1 mg/kg/h για διατήρηση. Άναλγησία ἔξασφαλίστηκε μὲ φαντανύλη 5 γ/kg/h και μυοχάλαση μὲ πανκουρόνιο σε δόση 0,1 mg/kg ἀρχικά και στή συνέχεια σε 0,3 mg/kg/h. Ο αερισμὸς γινόταν σε μεῖγμα διξυγόνου-ἀέρα ($\text{FiO}_2 = 60\%$) και τὴν προσθήκη ισοφλουρανίου σε πυκνότητες 0,8 - 1,5%. Ο άναπνεόμενος δγκος ήταν 15 ml/kg και ή άναπνευστική συχνότητα περίπου 20/min ὥστε νὰ διατηρεῖται τὸ τελεοεκπνευστικὸ CO_2 σε ἐπίπεδα περίπου 30 mmHg. Στήν οὐροδόχο κύστη τοποθετήθηκε ούροκαθετήρας, ἐνῶ φλεβοκαθετήρας εύρεος αύλοι (6 Fr) τοποθετήθηκε στή δεξιὰ μηριαία φλέβα για δρήγηση ύγρων και φαρμάκων. Στήν ἀριστερὴ καρωτίδα ἀρτηρία τοποθετήθηκε ἀρτηριακὸς καθετήρας μέσω του όποιου ἔγινε ή είσαγωγὴ του ἐνδοαρτηριακοῦ σένσορα συνεχοῦς καταγραφῆς ἀερίων αἴματος. Τὸν καθετηριασμὸ τῆς ἀριστερῆς ἔσω σφαγίτιδας φλέβας ἀκολούθησε ή είσαγωγὴ καθετήρα τύπου Swan-Ganz γιὰ μέτρηση πιέσεων καρδιακῆς πλήρωσης (δεξιοῦ κόλπου, πνευμονικῆς ἀρτηρίας/τριχοειδῶν) και καρδιακῆς παροχῆς μὲ τὴ μέθοδο τῆς θερμοκρασίωσης. Τοποθετήθηκε θερμόμετρο δροῦο, παλμικὸ διξύμετρο, ἐνῶ γινόταν συνεχῆς ἀπεικόνιση ἡλεκτροκαρδιογραφήματος και καρδιακῆς συχνότητας. Στρῶμα θερμάνσεως διατηροῦσε τὴ θερμοκρασία του πειραματοζώου σε ἀποδεκτὰ πλαίσια καθ' ὅλη τὴ διάρκεια του πειράματος, ἐνῶ συνεχῆς ἀπεικόνιση του κορεσμοῦ του μεικτοῦ φλεβικοῦ αἵματος (S v O_2) ἔξασφαλίστηκε μὲ τὴ μέθοδο τῆς διξυμετρίας.

Χειρουργικὴ τεχνικὴ: Μετὰ τὴν ἐγκατάσταση ὅλων τῶν παραπάνω, πραγματοποιήθηκε διάνοιξη του κοιλιακοῦ τοιχώματος μὲ ἐπιμήκη τομὴ και στή συνέχεια ἐκτροπὴ τῆς προσαγωγοῦ αἵματωσης του ἡπατος (τελικοπλάγια πυλαιοκοιλικὴ ἀναστόμωση και ἀπολίνωση τῆς ἡπατικῆς ἀρτηρίας). Εντὸς βώρου περίπου ἀπὸ τῆς ἀπαγγειώσεως του ἡπατος τὰ βιοχημικὰ και αίματολογικὰ στοιχεῖα τῆς δέξιας ἡπατικῆς ἀνεπάρκειας ήταν πλέον ἔκδηλα (AST, INR), ἐνῶ μετὰ τὴν παρέλευση 8ώρου τὰ πειραματόζωα κατανεμήθηκαν τυχαῖα σε δύο διαδεξ.

Όμαδες και σύνδεση κυκλώματος: διμάδα I ($n = 5$): μὲ συνέχιση τῆς αἵμαδυναμικῆς και μεταβολικῆς παρακολούθησης και ἐνδοφλέβια χορήγηση διαλύματος γλυκόζης μὲ σκοπὸ τὴ διατήρηση του σακχάρου του αἵματος $> 70 \text{ mg/dl}$. Η διμάδα II ($n = 5$): δπως και στήν διμάδα I και ἐπιπλέον ἐφαρμογὴ τῆς ἔξωσωματικῆς ὑποστήριξης τῆς ἡπατικῆς λειτουργίας (Ε.Υ.Η.Λ.) ως ἔξης: ἀπομονωμένο ἡπατικὸ

μόσχευμα (τὸ δποῖο ἔχει ληφθεῖ μὲν οὐρανίᾳ χειρουργικὴ τεχνικὴ ἀπὸ δότη χοῖρο μέσου βάρους σώματος 20-25 kg) τοποθετεῖται σὲ εἰδικὸ κυτίο μὲ ἐλεγχόμενες συνθῆκες θερμοκρασίας καὶ ιγρασίας καὶ κάνουλες στὴν πυλαία φλέβα, τὴν ὑπερηπατικὴ κάτω κοίλη καὶ τὸ χοληδόχο πόρο. Ἀκολούθως συνδέεται ἡ δεξιὰ καρωτίδα τοῦ λήπτη μὲ τὴν πυλαία φλέβα τοῦ μοσχεύματος τροφοδοτώντας τοῦ αἷμα τὸ δποῖο ἀπάγεται ἀπὸ τὴν ὑπερηπατικὴ κάτω κοίλη φλέβα τοῦ μοσχεύματος, καταλήγει σὲ δεξαμενὴ καρδιοτομῆς ὅπου θερμαίνεται καὶ ἡπαρινίζεται καὶ στὴ συνέχεια μέσω φυγόκεντρης ἀντλίας καταλήγει στὴ δεξιὰ ἔσω σφαγίτιδα φλέβα τοῦ χοίρου. Σὲ περίπτωση παράκαμψης τοῦ πειραματοζώου, ἡ δξυγόνωση τοῦ μοσχεύματος διατηροῦνταν μὲ δξυγόνωτὴ μεμβράνης. Ὁ ὄλικὸς ἔξωσωματικὸς ὅγκος τοῦ κυκλώματος ἦταν 600 ml, ἡ θερμοκρασία 38°C, ἡ πίεση τῆς πυλαίας διατηρήθηκε στὰ 16 (12-20) mmHg, ἐνῶ ἡ ροὴ ἦταν 0,5 - 0,7 ml/g ἡπατικοῦ ἴστοῦ/min. Σὲ τακτὰ χρονικὰ διαστήματα μετροῦνταν τὰ ἐπίπεδα ALB, ALT, AST, γ-GT, PT, ACT, παράγοντες I, V, VIII, σάκχαρο, γαλακτικό, ἡλεκτρολύτες, ἀπόδοση καὶ κατανάλωση δξυγόνου. Μετὰ δωρο E.Y.H.L λαμβανόταν βιοψία.

ΑΠΟΤΕΛΕΣΜΑΤΑ

Ἀπὸ τὴν μελέτη τῶν αἵμοδυναμικῶν παραμέτρων προέκυψε στατιστικῶς σημαντικὴ πτώση τοῦ κορεσμοῦ τοῦ μεικτοῦ φλεβικοῦ αἷματος (S \bar{v} O₂) μετὰ τὴ σύνδεση τῶν πειραματοζώων μὲ τὸ κύκλωμα ἔξωσωματικῆς ὑποστήριξης τῆς ἡπατικῆς λειτουργίας, πτώση πού, δεδομένης τῆς μὴ μεταβολῆς τῶν οὖσιωδῶν παραμέτρων ποὺ ἐπηρεάζουν τὸ S \bar{v} O₂, δηλαδὴ καρδιακὴ παροχή, αἵμοσφαιρίνης καὶ κορεσμοῦ τοῦ ἀρτηριακοῦ αἷματος σὲ δξυγόνο, ἀποδίδεται σὲ αὔξηση τῆς κατανάλωσης O₂, γεγονὸς πού ἐπιβεβαιώθηκε καὶ ἀπὸ τοὺς ὑπολογισμούς μας. Ἡ αὔξηση αὐτὴ τῆς κατανάλωσης δξυγόνου καταδεικνύει λειτουργικὴ ἵκανότητα τοῦ ἀπομονωμένου μοσχεύματος, τουλάχιστον ὅσον ἀφορᾶ τὴν παράμετρο ἀπόληψης δξυγόνου, πράγμα ποὺ εἶχε ἐπιβεβαιωθεῖ καὶ σὲ παλαιότερη ἐργασίᾳ μας ποὺ ἀφοροῦσε τὴ λειτουργικὴ καὶ μορφολογικὴ μελέτη ἀπομονωμένου ἡπατικοῦ μοσχεύματος. Ἀντίθετα ἡ πτώση τῆς μέσης ἀρτηριακῆς πίεσης μὲ συνοδὸ αὔξηση τῆς μέσης πνευμονικῆς πίεσης καὶ πίεση ἐνσφήνωσης τῶν πνευμονικῶν τριχοειδῶν μετὰ τὴ σύνδεση τοῦ πειραματοζώου μὲ τὸ κύκλωμα E.Y.H.L. ὑποδηλώνει ἐπιβάρυνση τῆς καρδιακῆς τους λειτουργίας πιθανῶς λόγω κυκλοφορούσων τοξινῶν ἀπὸ τὸν ἰσχαιμικὸ ἡπατικὸ ἴστο ἢ τὸ μεγάλο ὅγκο τοῦ κυκλώματος (Πίνακας I).

Ἡ μελέτη τῶν βιοχημικῶν καὶ αίματολογικῶν μεταβλητῶν κατέδειξε ἐπιβά-

ΠΙΝΑΚΑΣ Ι
ΑΙΜΟΔΥΝΑΜΙΚΕΣ ΜΕΤΡΗΣΕΙΣ

x + SD	MAP (mmHg)	PAP (mmHg)	PCWP (mmHg)	CO (lit.min ⁻¹)
A. ΟΛΙΚΟ ΗΠΑΡ				
"Εναρξη ΕΥΗΛ ↓ Τέλος ΕΥΗΛ	106,5 ± 27,00 66,0 ± 26,05*	22,83 ± 3,25 43,33 ± 7,77*	13,00 ± 3,16 18,33 ± 3,51*	5,22 ± 1,07 2,04 ± 0,62*
B. ΗΠΑΤΟΚΥΤΤΑΡΑ				
"Εναρξη ΕΥΗΛ ↓ Τέλος ΕΥΗΛ	108,0 ± 30,0 120,5 ± 25,5*†	23,50 ± 2,55 25,70 ± 3,50†	12,0 ± 3,20 14,0 ± 2,51†	5,50 ± 2,50 3,92 ± 1,07†

Στατιστική άνάλυση: one way ANOVA analysis (*p < 0,05: σύγκριση μεταξύ τιμών έναρξης - τέλους ΕΥΗΛ στήν ίδια όμάδα. †p < 0,05: σύγκριση μεταξύ τιμών τέλους Β πρὸς Α όμάδα).

MAP = μέση δρτηριακή πίεση, PAP = πίεση πνευμονικής δρτηρίας, PCWP = πίεση ένσφρήνωσης πνευμονικών τριχοειδών, CO = καρδιακή παροχή.

ΠΙΝΑΚΑΣ ΙΙ
ΒΙΟΧΗΜΙΚΕΣ ΜΕΤΡΗΣΕΙΣ

x ± SD	ALB (g.lit ⁻¹)	AST(SGOT) (IU.lit ⁻¹)	ALT(SGPT) (IU.lit ⁻¹)	NH ₃ (μmol.lit ⁻¹)
A. ΟΛΙΚΟ ΗΠΑΡ				
"Εναρξη ΕΥΗΛ ↓ Τέλος ΕΥΗΛ	1,16 ± 0,25 0,81 ± 0,18	1452 ± 310,71 3041 ± 638,50*	68,22 ± 17,41 121,5 ± 39,01*	310,29 ± 84,5 400,00 ± 20,0
B. ΗΠΑΤΟΚΥΤΤΑΡΑ				
"Εναρξη ΕΥΗΛ ↓ Τέλος ΕΥΗΛ	2,05 ± 0,25 3,5 ± 0,89*†	1568,00 ± 144,29 1342,25 ± 73,27*†	64,25 ± 2,48 73,25 ± 9,54†	308,0 ± 50,5 250,5 ± 28,3*†

Στατιστική άνάλυση: one way ANOVA analysis (*p < 0,05: σύγκριση μεταξύ τιμών έναρξης - τέλους ΕΥΗΛ στήν ίδια όμάδα. †p < 0,05: σύγκριση μεταξύ τιμών τέλους Β πρὸς Α όμάδα).

ρυνση τῆς ἡπατικῆς λειτουργίας καὶ ἐπηρεασμὸς τῆς πηκτικότητας, ἡ ὁποία ἦταν ἥδη ἔκδηλη μετὰ τὴν παρέλευση 8ώρου ἀπὸ τὴν ἔναρξη τῆς ἡπατικῆς ἀνεπάρκειας καὶ δὲν ἀνεστράφη μετὰ τρίωρη ἐφαρμογὴ τοῦ κυκλώματος E.Y.H.A. (πιθανῶς οἱ τοξίνες ποὺ παράγονται ἀπὸ τὸν ἴσχαιμικὸν ἡπατικὸν ἰστὸν εἶναι καὶ σ' αὐτὴν τὴν περίπτωση ὑπεύθυνες) (Πίνακας II). Ἡ παθολογοανατομικὴ ἐξέταση δειγμάτων (χρώσεις 'Ηωσίνης - Αἰματοξυλίνης καὶ PAS) ποὺ ἐλήφθησαν σὲ διαφορετικοὺς χρόνους ἀπὸ τὴν ἔναρξη λειτουργίας τοῦ κυκλώματος, ἔδειξε, κεντρολογιακὴ ἡπατικὴ νέκρωση μὲ κατεύθυνση ἀπὸ τὴν περιφέρεια τοῦ ἡπατος πρὸς τὸ κέντρο, ἀναλόγως τοῦ χρόνου λειτουργίας τοῦ κυκλώματος. Ἀντίθετα οἱ βιοψίες ἡπατος ποὺ ἔγιναν πρὸς ἀπὸ τὴν σύνδεση τοῦ μοσχέυματος μὲ τὸ κύκλωμα καὶ μετὰ τὴν λήψη του ἀπὸ τὸ δότη, ἐπιβεβαίωσαν τὴν ἀρχικὴν μορφολογικὴν του ἀκεραιότητα.

'Ομάδα Ἐφαρμογῆς Βιοτεχνητοῦ ἡπατος (Χρήση ἡπατοκυττάρων)

'Υλικὸ καὶ Μέθοδος

- α) Πειραματόζωα: 12 χοῖροι βάρους 25-35 kg.
- β) 'Ομάδες πειραματικοῦ πρωτοκόλλου:

 - i) 'Ομάδα I ($n = 4$): 'Ομάδα ἐλέγχου, δηλαδὴ ἀνάπτυξη ἡπατικῆς ἀνεπάρκειας χωρὶς περαιτέρω θεραπεία.
 - ii) 'Ομάδα δοτῶν ἡπατοκυττάρων ($n = 4$).
 - iii) 'Ομάδα II ($n = 4$): 'Ομάδα ἐφαρμογῆς τοῦ κυκλώματος ἐξωσωματικῆς ὑποστήριξης (μεμβράνη/φίλτρο βιοτεχνητοῦ ἡπατος) μετὰ τὴν ἀνάπτυξη ἡπατικῆς ἀνεπάρκειας (8 h). Δύο φίλτρα φορτώθηκαν μὲ Π.Α. Ήκ καὶ δύο μὲ Κρ Ήκ. Ἐπίσης σὲ κάθε μιὰ ἀπὸ τὶς ὑποκατηγορίες αὐτές δοκιμάστηκαν μικρὲς καὶ μεγάλες ποσότητες Ήκ ($\cong 10^9$ Π.Α. καὶ Κρ Ήκ καθὼς καὶ $\cong 5 \times 10^9$ Π.Α. καὶ Κρ Ήκ).
 - γ) Πειραματικὴ ἀνάπτυξη ἡπατικῆς ἀνεπάρκειας: Τὰ πειραματόζωα ὑποβλήθηκαν ὑπὸ γενικὴ ἀναισθησία σὲ λαπαροτομία καὶ στὴ συνέχεια ἐκτελέστηκε πυλαιοκοιλικὴ ἀναστόμωση καὶ ἀπολινώθηκε ἡ ἡπατικὴ ἀρτηρία. Χορηγήθηκε διάλυμα γλυκόζης γιὰ τὴ διατήρηση τοῦ σακχάρου τοῦ αἵματος > 70 mg/dl.

Π.Α.: Προσφάτως ἀπομονωθέντα ἡπατοκύτταρα.

Κρ.: Κρυοσυντηρημένα ἡπατοκύτταρα.

δ) Λήψη ήπατικοῦ μοσχεύματος: Οἱ δότες ήπατος ὑποβλήθηκαν σὲ λαπαροτομὴ ὑπὸ ἀσηπτὲς συνθῆκες καὶ γενικὴ ἐνδοτραχειακὴ ἀναισθησίᾳ (εἰσαγωγὴ μὲ πεντοβαρβιτόλῃ, συντήρηση μὲ ἀλλοθάνιο - δξυγόνῳ). Ἐπειτα ἀπὸ τὴν μέση τομή, ἀκολουθοῦσε παρασκευὴ τῶν ἀγγείων τοῦ ήπατος, ήπαρινση τοῦ πειραματοζώου (15.000 U) καὶ τοποθέτηση ἐνδὸς καθετήρα ἐκπλύσεως 14 Fr στὸ περιφερικὸ τμῆμα τῆς ἀορτῆς καὶ ἐνδὸς 18 Fr στὴν πυλαία φλέβα. Ἀκολουθοῦσε ἀπολίνωση τῆς ὑφηπατικῆς κάτω κοίλης πάνω ἀπὸ τὶς νεφρικὲς φλέβες, ἀποκλεισμὸς τῆς ἀορτῆς ὑποδιαφραγματικὰ καὶ ἐκπλυση in situ τοῦ ήπατος μὲ 10 lt κρύου (4°C) διαλύματος U.W. (University of Wisconsin). Μετὰ τὴν πλήρη ἐκπλυση τοῦ ήπατος ἀκολουθοῦσε ήπατεκτομὴ διατηρώντας τοὺς καθετῆρες ἐκπλύσεως στὴ θέση τους καὶ εὐθανασία τοῦ πειραματοζώου μὲ ὑψηλὴ δόση ἀναισθητικοῦ. Ἀκολουθοῦσε συντήρηση σὲ 4°C μὲ διάλυμα U.W. γιὰ 1 h περίπου.

ε) Ἀπομόνωση τῶν ήπατοκυττάρων: Τὸ ηπαρ ἐκπλυόταν καὶ μετὰ τὴ συντήρησή του μὲ διάλυμα U.W. Στὴ συνέχεια τοποθετοῦνταν ὁ καθετήρας ἐκπλύσεως στὸν ἀριστερὸ κλάδο τῆς πυλαίας φλέβας καὶ γινόταν ἐκτομὴ τοῦ ἔσω καὶ ἔξω ἀριστεροῦ λοβοῦ ποὺ χρησιμοποιοῦνταν τελικὰ γιὰ τὴν ἀπομόνωση τῶν Ηκ.

Τὰ ἐπόμενα στάδια τῆς ἀπομόνωσης τῶν Ηκ ἀποτελοῦν ἐκτεταμένη τροποποίηση τῆς τεχνικῆς Seglen [5], ποὺ ἔχει πλέον δοκιμαστεῖ κατ' ἐπανάληψη στὸ Ἑργαστήριο μας. Μέσω τοῦ καθετήρα τῆς πυλαίας φλέβας ἐγχέοταν κρύο (4°C) διάλυμα τοῦ ἐνζύμου τῆς κολλαγενάσης (τύπου V, Sigma C-9263) σὲ συγκέντρωση 1,3 mg/ml. Συνολικὰ ἐγχέονταν 500-600 ml κολλαγενάσης μὲ ρυθμὸ 80-100 ml/min. Μετὰ τὴν ἐγχυση ὁ ήπατικὸς λοβὸς τοποθετοῦνταν σὲ ἀποστειρωμένο δοχεῖο 1 lit ποὺ περιεῖχε διάλυμα P.B.S. (Phosphate Buffered Saline, Sigma, 1000-3) μὲ pH = 7,4. Τὸ P.B.S. ἀποτελοῦσε καὶ τὸ διαλύτη τῆς κολλαγενάσης. Ἀκολουθοῦσε ἐπώαση τοῦ ήπατικοῦ λοβοῦ σὲ ὑδατόλουτρο, γιὰ 40 min, ἀπὸ τὴ στιγμὴ ποὺ ἡ θερμοκρασία ἐντὸς τοῦ δοχείου μετροῦνταν σταθερὰ στοὺς 37°C. Μετὰ τὴν ἐπώαση καὶ τὴ δράση τῆς κολλαγενάσης τὸ παρέγχυμα τοῦ ήπατος δὲν διατηροῦσε πλέον τὴν ἀρχικὴ του κατασκευή, ἀλλὰ εἶχε τὴ μορφὴ ἐνδὸς ἴδιαιτερα εὔθραυστου ἰστοῦ. Ἀμέσως ἀφαιροῦνταν τὸ ὑπερκείμενο διάλυμα κολλαγενάσης καὶ ὁ ἵστος ἐπαναδιαλυόταν σὲ κρύο διάλυμα P.B.S. ὥστε νὰ σταματήσει ἡ δράση τοῦ ἐνζύμου. Ὁ ἵστος συντηροῦνταν σὲ κρύες συνθῆκες καὶ μικρὰ τμήματα του διαδοχικὰ διηθοῦνταν μέσω ἀποστειρωμένου μεταλλικοῦ φίλτρου μεγέθους πόρων 400 μμ. Στὸ φίλτρο συγκρατοῦνταν τὸ δίκτυο τῶν πυλαίων κλάδων, λεμφαδένες, ράμφατα καὶ θραύσματα τοῦ ήπατικοῦ λοβοῦ ποὺ δὲν διασπάστηκαν ἀπὸ τὴ δράση τοῦ ἐνζύμου. Τὸ διέθημα (ἀθροίσματα κυττάρων) ἐπαναδιαλυόταν σὲ κρύο (4°C) διάλυμα Hank's (Sigma H - 4661) ποὺ περιεῖχε καὶ 5% ἐμβρυικὸ δρὸν νεογέννητου μοσχαριοῦ (Newborn Calf Serum, NB.C.S.,

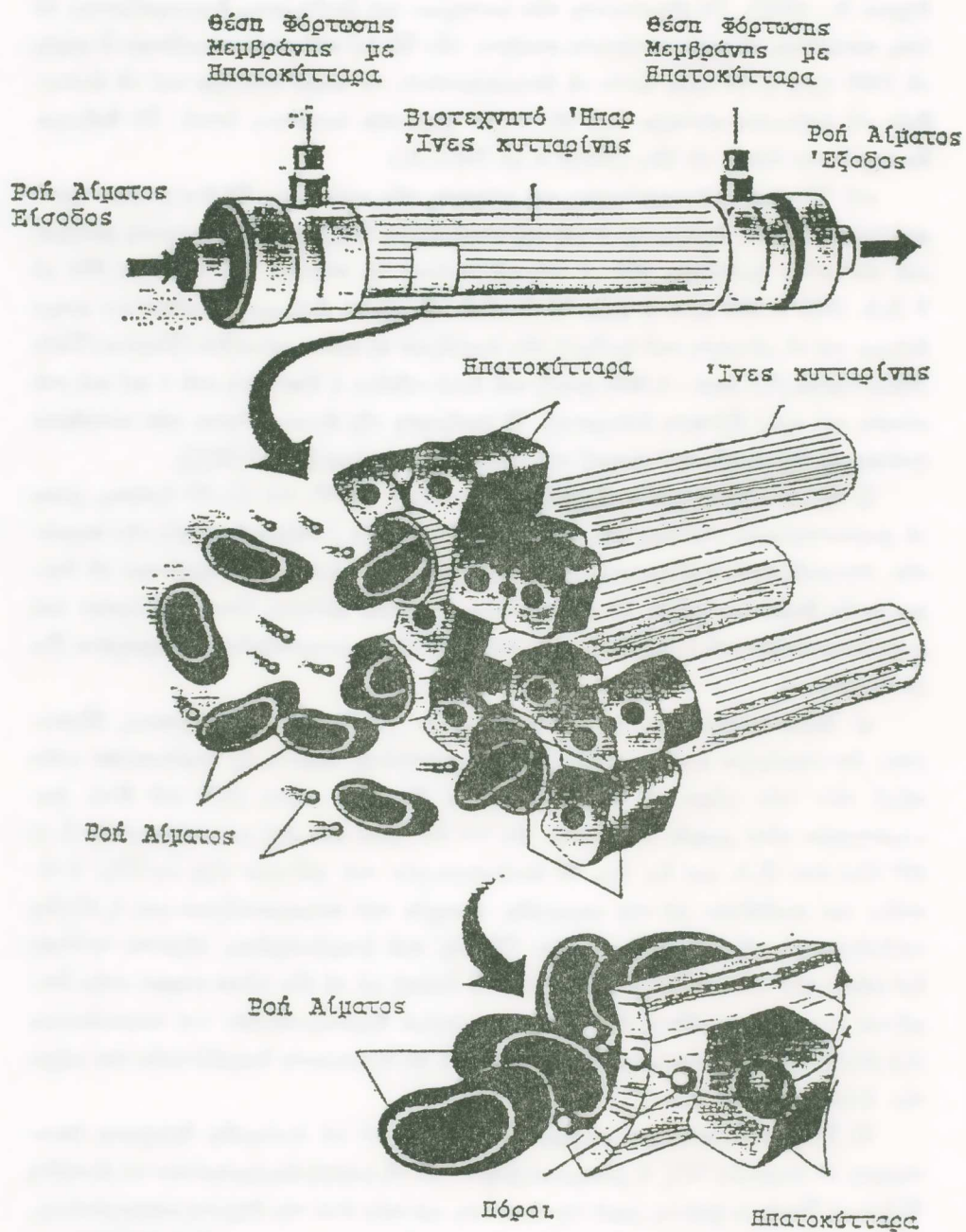
Sigma N - 4637). Τὰ ἀθροίσματα τῶν κυττάρων τοῦ διηθήματος διαμοιράζονται σὲ ἕσες ποσότητες σὲ φυγοκεντρικούς σωλῆνες τῶν 50 ml καὶ φυγοκεντροῦνταν 2 φορὲς σὲ 1000 rpm × 10 min, ὡστε νὰ ἀπομακρυνθοῦν τὰ νεκρὰ κύτταρα καὶ νὰ ἔκπλυθοῦν τὰ ὑπόλοιπα κύτταρα ἀπὸ τὴν τυχὸν παρουσία λιπώδους ιστοῦ. Τὸ διάλυμα διατηροῦνται πάντα τὸ ἴδιο (Hank's μὲ N.B.C.S.).

στ) Ἐκτίμηση βιωσιμότητας καὶ μέτρηση τῶν κυττάρων: Σὲ ἓνα φυγοκεντρικὸ σωλῆνα τῶν 50 ml διαλύνονται 5 ml τοῦ ιστοῦ (λήψη δείγματος ἀπὸ δμογενὲς μεῖγμα) καὶ ἀπ' αὐτὰ ποσότητα 100 µl ἐπαναδιαλύονται σὲ σωλῆνα τοῦ 1 ml μὲ 900 µl P.B.S. ($100 + 900 \mu\text{l} = 1 \text{ ml}$). Ἀπὸ αὐτὸ τὸ τελικὸ διάλυμα, λαμβανόνται μικρὸ δεῖγμα γιὰ τὴ μέτρηση τοῦ ἀριθμοῦ τῶν κυττάρων σὲ εἰδικὸ πλακίδιο (Thoma/Tiefe /Fein Optik/0,1 mm - 1/400 mm²) καὶ ἀκολουθοῦσε ἡ ἀναγωγὴ στὸ 1 ml καὶ στὸ σύνολο τοῦ πρὸς ἔξέταση δείγματος. Ἡ ἐκτίμηση τῆς βιωσιμότητας τῶν κυττάρων γινόταν μὲ δοκιμασία τοῦ κυανοῦ τοῦ τρυπανίου (trypan blue 0,02%).

ζ) Κρυοσυντήρηση Ηκ: Διατηρήθηκαν στοὺς -20°C γιὰ 15-20 ἡμέρες, μέσα σὲ φυγοκεντρικούς σωλῆνες τῶν 50 ml (10-15 ml Ηκ / σωλῆνα), χωρὶς τὴν παρουσία δόποιου δήποτε διαλύματος. Κατὰ τὸ χρόνο χρήσης τους, διατηροῦνται σὲ θερμοκρασία δωματίου μέχρι νὰ ἀποτελέσουν δμογενὲς μεῖγμα, ἐπαναδιαλύονται καὶ φυγοκεντροῦνται στὰ 1100 rpm × 15 min γιὰ νὰ ἀπομακρυνθοῦν τὰ νεκρωμένα Ηκ (ὑπερκείμενο).

η) Ἐξωσωματικὸ φίλτρο ἥπατοκυττάρων: Τὸ φίλτρο αὐτὸ (Zymax, Microgon) ἀποτελούμενο ἀπὸ κυλινδρικὲς ἵνες κυτταρίνης (εἰκόνα 1) φορτωνόται στὸν πέριξ τῶν ἵνων χῶρο μὲ τὰ ἀπομονωμένα Ηκ τοῦ χοίρου (110 ml Ηκ). Δοκιμάστηκαν τόσο μικρὲς ποσότητες Ηκ (= 10⁹ Ηκ) ὅσο καὶ μεγαλύτερες (= 5 × 10⁹ Ηκ) ἀπὸ Π.Α. καὶ Κρ Ηκ. Ἡ συνδεσμολογία τοῦ φίλτρου εἶχε ὡς ἔξης: ἡ εξισοδός του συνδεόταν μὲ τὴν καρωτίδα ἀρτηρία τοῦ πειραματοζώου καὶ ἡ ἔξοδος συνδεόταν μὲ τὴ σφαγίτιδα φλέβα. Ἡ ροὴ τοῦ ἥπαρινισμένου αἷματος γινόταν διὰ μέσου τῶν ἵνων καὶ τὸ αἷμα ἐρχόταν σὲ ἐπαφὴ μὲ τὰ Ηκ μέσω πόρων στὴν ἐπιφάνεια τῶν ἵνων μεγέθους 0,2 µ. Στὸ κύκλωμα δημιουργοῦνται καὶ παρακάμψεις (by pass), ὡστε νὰ παρακάμπτεται τὸ φίλτρο σὲ περίπτωση θρομβώσεώς του μέχρι τὴν ἀντικατάστασή του.

θ) Παθολογοανατομικὰ εύρήματα: Ἐλήφθησαν τὰ ἀκόλουθα δείγματα (συντήρηση σὲ φορμόλη 10% ἢ μονιμοποιήθηκαν μὲ τὴ μορφὴ ἐπιχρισμάτων σὲ ἀλκοόλη 95%): α) Τεμάχια ἥπατος μετὰ τὴν ἔκπλυση καὶ πρὶν ἀπὸ τὴν ἔγχυση κολλαγενάσης, β) Π.Α. Ηκ, γ) Κρ Ηκ, δ) Π.Α. Ηκ (3h καὶ 6h λειτουργίας τοῦ K.E.Y.H.L.) καὶ ε) Κρ Ηκ (3h καὶ 6h λειτουργίας τοῦ K.E.Y.H.L.). Ἐγινε χρώση αἷματοξυλίνης - ἡ ωσίνης (A.H.).



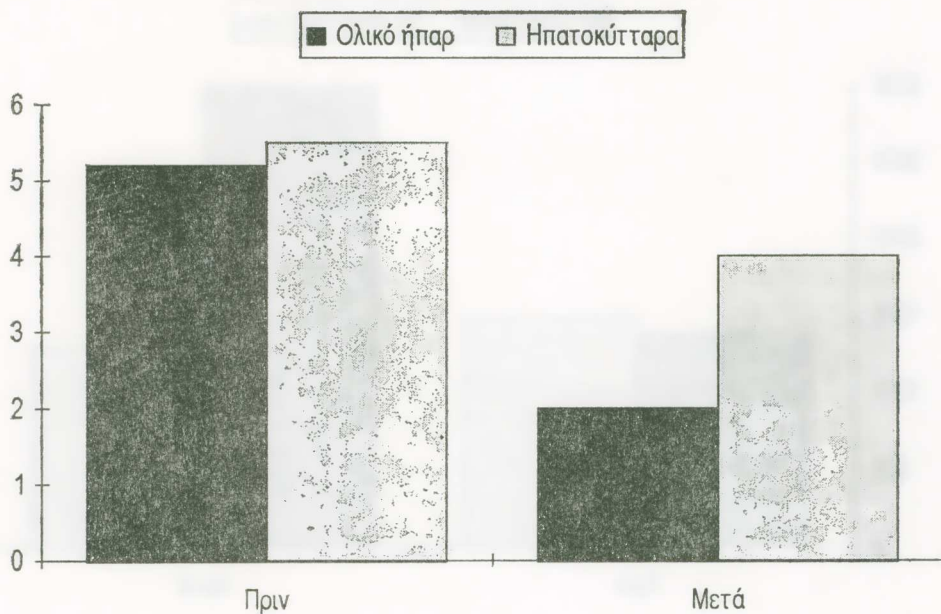
Εικόνα 1. Δομή βιοαντιδραστήρα (μεμβράνης φίλτρου) ήπατοκυττάρων και τρόπος έπαφης ήπατοκυττάρων με αίμα άσθενούς.

ΑΠΟΤΕΛΕΣΜΑΤΑ

"Οπως άναφέρθηκε και στὸ σχεδιασμὸ τοῦ πειραματικοῦ πρωτοκόλλου, τόσο τὰ Π.Α. Ήν ὅσο καὶ τὰ Κρ ἐξετάσθηκαν παθολογοανατομικῶς πρὶν ἀπὸ τὴ χρήση τους στὴ μεμβράνη βιοτεχνητοῦ ἡπατος. Ἀποδείχτηκε μὲ τὴ δοκιμασία τοῦ κυανοῦ τοῦ τρυπανίου ὅσο καὶ μὲ χρώση αίματοξυλίνης-ἡωσίνης ὅτι γιὰ τὰ Κρ Ήν ὑπάρχουν ἀπώ-

ΕΞΩΣΩΜΑΤΙΚΗ ΥΠΟΣΤΗΡΙΞΗ ΗΠΑΤΙΚΗΣ ΛΕΙΤΟΥΡΓΙΑΣ

Καρδιακὴ παροχὴ (lit/min)

 $p < 0,05$ 

Διάγραμμα 1. Μεταβολὲς τῆς καρδιακῆς παροχῆς πρὶν καὶ μετὰ τὴν ἐξωσωματικὴ ὑποστήριξη τῆς ἡπατικῆς λειτουργίας μὲ δύικὸ ἡπαρ καὶ ἡπατοκύτταρα.

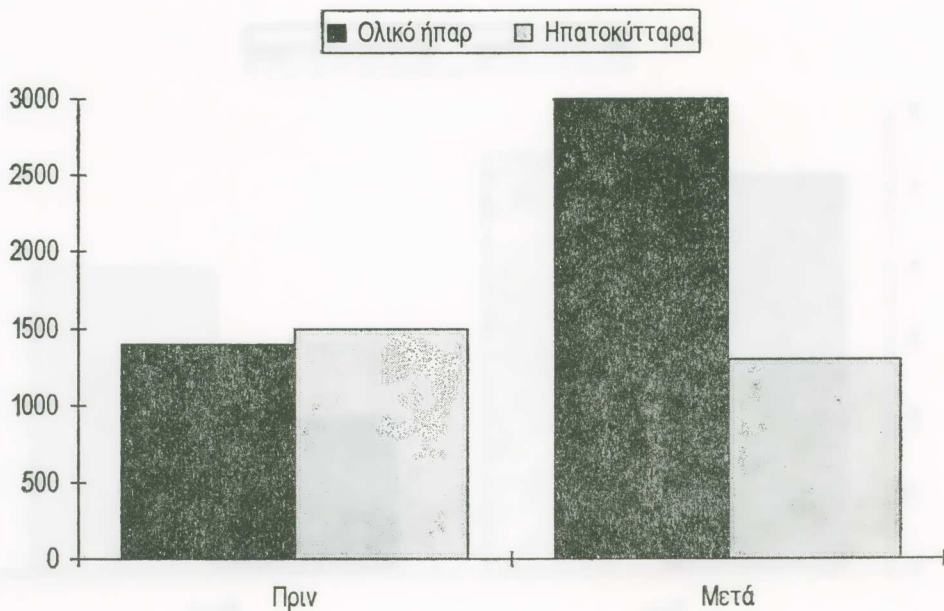
λειες τῆς τάξης τοῦ 20-30% (νεκρὰ κύτταρα). "Ομως, μὲ κατάλληλη φυγοκέντρηση τῶν κυττάρων αὐτῶν, τὰ νεκρὰ κύτταρα ἀπομαρύνονται, μὲ ἀποτέλεσμα τὰ Ήν ποὺ τελικὰ χρησιμοποιοῦνται στὸ βιοτεχνητὸ ἡπαρ (B.H.) νὰ εῖναι ἐξίσου ζωτικὰ μὲ τὰ Π.Α. (> 90%). Ἐπίσης πρὶν ἀπὸ τὴ χρήση τους στὸ φίλτρο B.H., τόσο τὰ Κρ ὅσο καὶ τὰ Π.Α. Ήν, διατηροῦν τὴ μορφολογικὴ τους ἀκεραιότητα. Χαρακτηριστικὸ ἐπίσης

τῶν Π.Α. Ήκ είναι ή ἐμφάνισή τους ώς μονήρων κυττάρων ή σε πολὺ μικρὰ ἀθροίσματα κυττάρων. Ἀντιθέτως τὰ Κρ Ήκ, λόγω τῆς συντήρησής τους σὲ χαμηλὴ θερμοκρασία, ἐμφανίζονται στὰ ἐπιχρίσματα ώς ἀθροίσματα σαφῶς περισσοτέρων κυττάρων ἀπ' ὅ,τι τὰ Π.Α. Οἱ βιοχημικὲς καὶ αἰμοδυναμικὲς μετρήσεις στὴν διμάδα ἐλέγχου, 8 h μετὰ τὴν χειρουργικὴν ἐπέμβαση γιὰ τὴν ἀνάπτυξη ἡπατικῆς ἀνεπάρκειας,

ΕΞΩΣΩΜΑΤΙΚΗ ΥΠΟΣΤΗΡΙΞΗ ΗΠΑΤΙΚΗΣ ΛΕΙΤΟΥΡΓΙΑΣ

SGOT (IU/lit)

$p < 0,05$



Διάγραμμα 2. Μεταβολὴ τῆς SGOT πρὸς μετὰ τὴν ἔξωσωματικὴν ὑποστήριξη τῆς ἡπατικῆς λειτουργίας μὲ διαιρέσεις σε ολικὸν ήπαρ καὶ ηπατοκύτταρα.

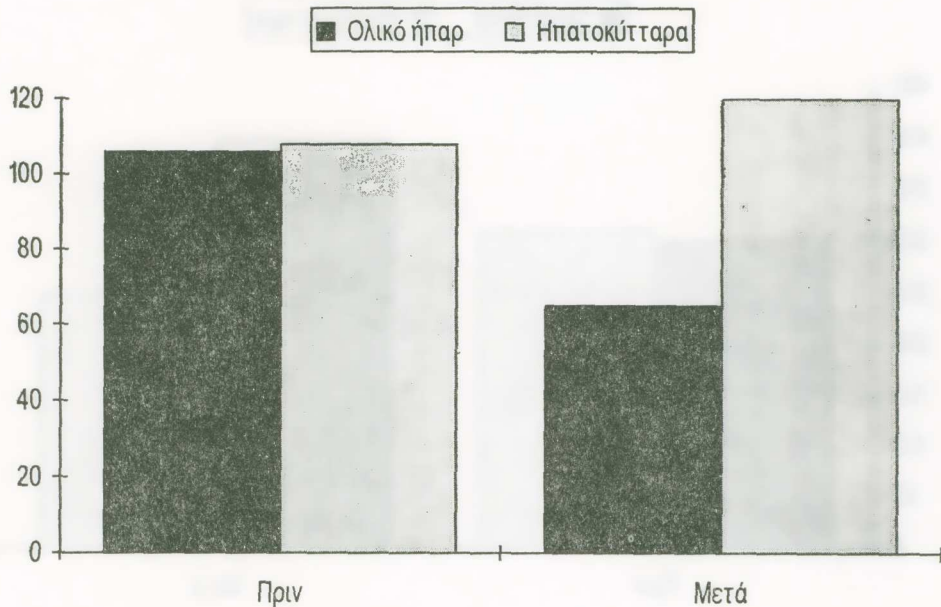
ἐμφάνισαν τὶς τιμὲς ποὺ ἀναφέρονται στοὺς πίνακες I καὶ II καὶ στὰ διαγράμματα 1, 2, 3, 4. Ἀντιθέτως, μετὰ τὴν ἐφαρμογὴν τοῦ Κ.Ε.Υ.Η.Λ., μὲ χρήση βιοτεχνητοῦ ἡπατος, οἱ δεῖκτες αὐτοὶ βελτιώθηκαν, ἥταν ὅμως σαφῆς ἡ ἀνάγκη γιὰ τὴν πάροδο ἐνὸς χρονικοῦ διαστήματος μεγαλυτέρου τῶν 6 h ἀπὸ τὴν ὥρα ἐφαρμογῆς τοῦ B.H., χρόνο στὸν ὃποῖο τὸ κύκλωμα σταθεροποιεῖται κατὰ κύριο λόγο αἰμοδυναμι-

κῶς. Στούς χρόνους τῶν 3 καὶ τῶν 6 h μετά τὴν ἐφαρμογὴν τοῦ B.H. ἔξετάστηκαν παθολογοανατομικῶς τὰ Hk. Διαπιστώθηκε ὅτι ὁ ἀριθμὸς τῶν Hk σχετίζεται μὲ τὴ βελτίωση τῆς γενικῆς κατάστασης τοῦ πειραματοζώου. Ἀντιθέτως τὰ παθολογοανατομικὰ εὑρήματα ἔδειξαν ὅτι εἶναι ἀνεξάρτητα τοῦ ἀριθμοῦ τῶν Hk. Διαπιστώθηκε δηλαδὴ ὅτι ἀνεξαρτήτως τοῦ ἀν τὸ B.H. φέρει μεγάλο (5×10^9) ἢ μικρὸ

ΕΞΩΣΩΜΑΤΙΚΗ ΥΠΟΣΤΗΡΙΞΗ ΗΠΑΤΙΚΗΣ ΛΕΙΤΟΥΡΓΙΑΣ

Μέση ἀρτηριακὴ πίεση (mmHg)

$p < 0,85$



Διάγραμμα 3. Μεταβολές τῆς μέσης ἀρτηριακῆς πίεσης πρὶν καὶ μετά τὴν ἔξωσωματικὴ ὑποστήριξη τῆς ήπατικῆς λειτουργίας μὲ διικό ήπαρ καὶ ἀπομονωμένα ήπατοκύτταρα.

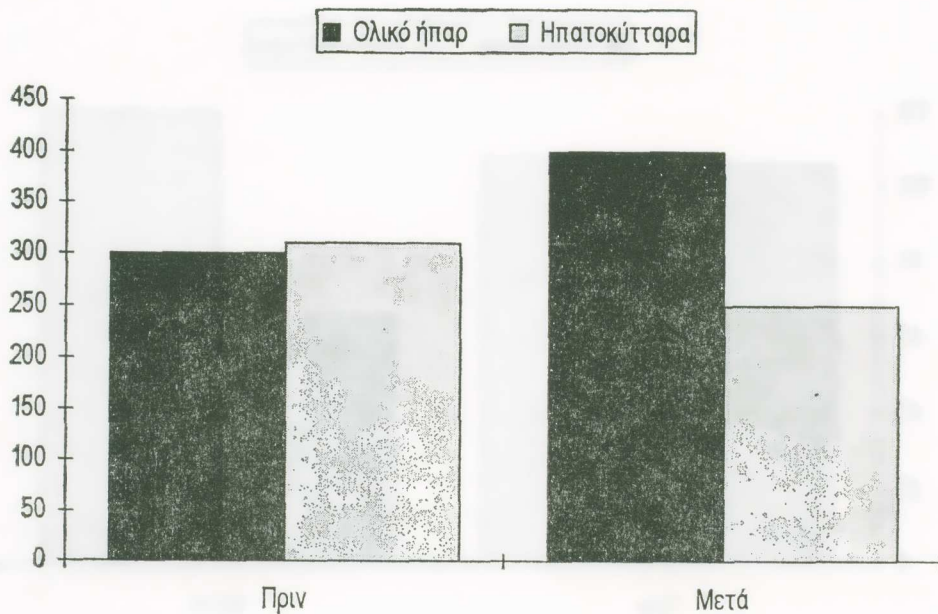
ἀριθμὸν Hk (10^9), κατὰ τὴν ἔξέταση τῶν ἐπιχρισμάτων παρουσιάζονται παρόμοια ἀποτελέσματα. Παρατηρήθηκαν μεταβολές στὴ μορφολογία τῶν κυττάρων καθὼς καὶ ἀσάφεια τῆς κυτταρικῆς μεμβράνης, ἀναλόγως ὅμως τοῦ χρόνου λειτουργίας τοῦ Κ.Ε.Υ.Η.Λ. Οἱ μεταβολές αὐτές ἀποδίδονται κυρίως στὴν ἐπαφὴ τῶν κυττάρων μὲ τὶς ἴνες κυτταρίνης καθὼς καὶ στὴ νέα λειτουργικὴ τους διάταξη (όμοιόμορφη

κατανομή γύρω από τις ίνες) που ένω ασφαλώς τὰ φέρνει σὲ ἐπαφὴ μὲ τὸ αἷμα, ώστόσο ή διάταξη αὐτὴ δὲν «μιμεῖται» τὴ φυσικὴ τους ιστολογικὴ διάταξη. Στὶς 3 καὶ στὶς 6 h μετὰ τὴ λειτουργία τοῦ B.H., τὰ Π.Α. Ήκ ἐμφανίζονται καὶ πάλι ὡς μονήρη κύτταρα ἢ σὲ μικρὰ ἀθροίσματα. Ἀντιθέτως τὰ Κρ Ήκ ἔξακολουθοῦν νὰ συγκροτοῦν μεγάλα ἀθροίσματα κυττάρων.

ΕΞΩΣΩΜΑΤΙΚΗ ΥΠΟΣΤΗΡΙΞΗ ΗΠΑΤΙΚΗΣ ΛΕΙΤΟΥΡΓΙΑΣ

Αμμωνία ($\mu\text{mol/lit}$)

$p < 0,05$



Διάγραμμα 4. Μεταβολὲς τῆς ἀμμωνίας αἵματος πρὶν καὶ μετὰ τὴν ἔξωσωματικὴ ὑποστήριξη τῆς ηπατικῆς λειτουργίας μὲ δίλικὸν ἡπαρ καὶ ηπατοκύτταρα.

ΣΥΖΗΤΗΣΗ

Τὰ τελευταῖα χρόνια ἡ βιοτεχνολογία πρόσφερε ἀρκετὰ συστήματα μὲ ίδιότητες χρήσιμες γιὰ κλινικὴ ἐφαρμογὴ [1, 6]. Ἀπὸ τὴν τεχνογνωσίᾳ αὐτὴ προέρχονται καὶ οἱ συσκευὲς ποὺ χρησιμοποιοῦνται γιὰ τὴν ἔξωσωματικὴ ὑποστήριξη τῆς ἡπα-

τικής λειτουργίας σε ήπατικές άνεπάρκειες. Τὰ συστήματα αύτὰ παρουσιάζουν όρισμένα χαρακτηριστικά πού άποτελοῦν ταυτόχρονα και πλεονεκτήματά τους:

1. Ύποστηρίζουν έπαρχως τὴν ἡπατικὴν λειτουργία μέχρι τὴν ἀνεύρεση καταλλήλου μοσχεύματος.

2. Προσφέρουν τὴν δυνατότητα χρήσης ἡπατοκυττάρων ἀπὸ ἄλλα θηλαστικά (χοῖρος).

3. Προσφέρουν τὴν δυνατότητα τὸ ἡπαρ ἐνὸς δότη ἡπατοκυττάρων νὰ ἔπαρκει γιὰ 2 ἥ και γιὰ 3 λῆπτες, καθὼς και δυνατότητα συντήρησης τῶν κυττάρων.

4. Τὰ κύτταρα, ὅταν αὐτὸς κρίνεται ἀπαραίτητο, ἀνανεώνονται ταυτοχρόνως μὲ τὴν μεμβράνη τοῦ Β.Η., μέσω παρακαμπτηρίων γραμμῶν.

5. Παρέχουν τὴν δυνατότητα ἀπομόνωσης τῶν ἡπατοκυττάρων ἀπὸ τὸ ἀνοσολογικὸ σύστημα τοῦ λήπτη (immunoisolation).

6. Οἱ μεμβράνες ἀλλάζουν τὴν μορφολογία τῶν κυττάρων, ἀλλὰ δὲν προκαλοῦν βλάβες στὰ κύτταρα.

7. Προσφέρουν τὴν δυνατότητα διορθωτικῶν χειρισμῶν σὲ ἐπιμέρους τμήματα τοῦ κυκλώματος, ἀν αὐτὸς κριθεῖ ἀναγκαῖο.

8. Ύποστηρίζονται πολὺ καλύτερα οἱ περιπτώσεις ἐκείνων τῶν ἀσθενῶν ποὺ μπορεῖ ἡ ἡπατικὴ ἀνεπάρκεια νὰ ὑποχωρήσει μετὰ ἀπὸ ἀναγέννηση τοῦ πάσχοντος ἡπατος. Στὰ παραπόνω συστήματα γίνεται χρήση ἀπομονωμένων ἡπατοκυττάρων τὰ ὅποια λαμβάνονται ἀπὸ δότες χοίρους μὲ διαφορετικοὺς τρόπους ἀπομόνωσης. Ἀπὸ ἀντίστοιχη ἐμπειρία τοῦ Ἐργαστηρίου μας ἔχουμε ἀναπτύξει μιὰ δοκιμασμένη και ἐλεγμένη μέθοδο ἀπομόνωσης [7, 8]. Στὴ διεθνὴ βιβλιογραφία ἐμφανίζονται δύο μεγάλα κέντρα μὲ πειραματικὴ και ἀλινικὴ ἐμπειρία στὴ χρήση τῶν συστημάτων αὐτῶν. Τὸ πρῶτο εἶναι τὸ Cedars - Sinai Medical Center, στὸ Los Angeles τῶν Η.Π.Α. [1] και τὸ δεύτερο στὸ Πανεπιστήμιο τῆς Minnesota και πάλι στὶς Η.Π.Α. [9]. Ἀπὸ τὴν κλινικὴ ἐμπειρία τῶν κέντρων αὐτῶν ἔχουν καταγραφεῖ μὲ λεπτομέρειες, πρὸς τὸ παρόν, τὰ ἀποτελέσματα μόνο τοῦ πρώτου (ώς παλαιότερο κέντρο). Στὰ 9 πρῶτα περιστατικά, οἱ 7 ἀσθενεῖς ἐπέζησαν σὲ Β.Η. (2 ἥ και 3 συνεδρίες σὲ διαφορετικοὺς χρόνους) ἔως ὅτου μεταμοσχεύθηκαν, ἔνας πέθανε και ἔνας θεραπεύτηκε ἀπὸ τὴ χρήση Β.Η. ἀλλὰ χρειάστηκε μεταμόσχευση 6 μῆνες ἀργότερα. Ἀπὸ τὴ μικρὴ αὐτὴ προκαταρκτικὴ ἐμπειρία, εἶναι φανερή, ὅχι μόνο ἡ σημασία τῆς χρήσης Β.Η. μέχρι τὴν ἀνεύρεση καταλλήλου μοσχεύματος, ἀλλὰ και ἡ πραγματικὴ συμβολὴ του στὴν ὑποστήριξη τῆς ἡπατικῆς λειτουργίας. Παράλληλα ὅμως γίνεται ἐπιτακτικὴ και ἡ ἀνάγκη γιὰ περαιτέρω πειραματικὴ ἔρευνα στὸν τομέα αὐτὸς που μὲ τὴ σειρά της παραπέμπει στὴ δημιουργία ἀντίστοιχων ἀπλῶν πειραματικῶν διατάξεων. Πρὸς τὴν κατεύθυνση αὐτὴ κινήθηκε και τὸ ἔρευνητικὸ ἐνδιαφέρον τοῦ Ἐργαστηρίου

μας, πού μὲ ἔδαφος τὴν ἐμπειρία ἀπὸ τὶς πειραματικὲς μεταμοσχεύσεις ἡπατος, ἀλλὰ καὶ τὴν ἀνάπτυξη Κ.Ε.Υ.Η.Λ. [2, 3, 4] μὲ τὴ χρήση ὀλοκλήρου τοῦ ἡπατικοῦ μοσχεύματος, προχώρησε στὸ σχεδιασμὸ τῆς πειραματικῆς διάταξης πού περιγράφηκε στὴν παροῦσα ἐργασία.

Γιὰ τὸ σκέλος τῆς ἐργασίας πού ἀφορᾶ στὴν τεχνικὴ ἀνάπτυξης τῆς ἡπατικῆς ἀνεπάρκειας, προτιμήθηκε τελικῶς ἡ χειρουργικὴ μέθοδος ἔναντι τῆς χημικῆς πού χρησιμοποιεῖται μὲ ἐπιτυχία σὲ ἐπίμυες (νιτροδιοαμίνης, D-γαλακτοζαμίνης κ.ἄ.), γιὰ τὸ λόγο ὅτι ὁ χοῖρος ὡς πειραματόζωο δὲν ἀνέχτηκε τὴ χρήση τῶν οὐσιῶν αὐτῶν. Γιὰ τὸ καθ' ἐκατὸ σκέλος τῆς ἐργασίας, πού ἀφορᾶ στὴν ἐφαρμογὴ Κ.Ε.Υ.Η.Λ. μὲ χρήση ἀπομονωμένων Ήκ καὶ βιοσυμβατῆς μεμβράνης γιὰ τὴν ἐγκατάστασή τους, συνοπτικὰ παρατηρήσαμε τὰ ἀκόλουθα:

1. Σημαντικότατο ρόλο στὴν καλὴ λειτουργία τοῦ κυκλώματος διαδραματίζει προφανῶς ἡ ποιότητα τῶν ἀπομονωμένων Ήκ (βιωσιμότητα, μορφολογικὴ ἀκεραιότητα). Ἡ ποιότητα αὐτὴ πηγάζει ὅχι μόνο ἀπὸ τὴν τεχνικὴ ἀπομόνωσης ἀλλὰ πιὸ πρίν, κατὰ τὴν τεχνικὴ λήψης τοῦ μοσχεύματος.

2. "Οπως διαπιστώσαμε καὶ στὰ προηγούμενα πειράματα, ὅπου χρησιμοποιήθηκε ὁλόκληρο τὸ ἡπατικὸ μόσχευμα σὲ Κ.Ε.Υ.Η.Λ., ἀπαιτεῖται καὶ πάλι ἔνας χρόνος αἱμοδυναμικῆς σταθεροποίησης τοῦ κυκλώματος. Στὸ χρόνο αὐτὸ δέρεται μέρος τῶν παθολογοανατομικῶν μας εὑρημάτων καὶ γιὰ τὸ λόγο αὐτὸ στὴ μελέτη μας ἐπικεντρωθήκαμε σὲ πρώτη φάση στὶς 3 καὶ στὶς 6 h λειτουργίας τοῦ Β.Η.

3. 'Υπάρχει ἀσφαλής τρόπος νὰ παρακολουθοῦνται παθολογοανατομικῶς τὰ Ήκ κατὰ τὴ διάρκεια λειτουργίας τοῦ συστήματος, μὲ κατάλληλη τεχνικὴ λήψης δειγμάτων ἀπὸ τὶς θέσεις φόρτωσης τῶν κυττάρων.

4. Σὲ περίπτωση πού διαπιστωθεῖ σοβαρὴ βλάβη τῶν κυττάρων, τὸ Β.Η. ἀντικαθίσταται μέσω παρακαμπτηρίων γραμμῶν.

5. 'Η περιγραφεῖσα διάταξη ὑποστήριξε τὸ πειραματόζωο, ἀλλὰ ἀπαιτεῖται περαιτέρω πειραματικὴ διερεύνηση πολλῶν παραμέτρων πού ἀφοροῦν στὴ λειτουργία τοῦ κυκλώματος αὐτοῦ (ἀριθμὸς κυττάρων, αἱμοδυναμικὴ παρακολούθηση τοῦ πειραματοζώου κ.ἄ.).

6. 'Η ἐξωσωματικὴ συντήρηση Ήκ, ὅπως αὐτὸ ἀλλωστε φαίνεται καὶ ἀπὸ τὴ διεθνὴ βιβλιογραφία [9], ὁδηγεῖ σὲ μεταβολὲς τῆς μορφολογίας τους, ποὺ εἶναι προφανὲς ὅτι πρέπει νὰ μελετηθοῦν καὶ νὰ προσδιοριστοῦν.

'Η πειραματικὴ διάταξη πού χρησιμοποιήθηκε προσφέρει τὴ δυνατότητα τῆς ἐπέκτασης τοῦ χρόνου λειτουργίας τοῦ Κ.Ε.Υ.Η.Λ., ἡ δὲ ἀπλότητά της διευκολύνει τὴν ἐπαναληψιμότητα τῶν πειραμάτων καὶ κατ' ἐπέκταση τὴν ἐρευνητικὴ μας δραστηριότητα.

ΒΙΒΛΙΟΓΡΑΦΙΑ

1. Demetrio A. A., Editor. *Support of the acutely failing liver*. Cedars - Sinai Medical Center, Los Angeles. Medical Intelligence Unit. R. G. Landes Company, Austin 1994.
2. Kostopanagiotou G., Arkadopoulos N., Kontopoulou V., et al., Morphology and function of an isolated liver graft in an extracorporeal liver support circuit. (8th European Congress of Intensive Care Medicine 18-22/10/96). *Intensive Care Medicine*, 1995, 21 (1): 188.
3. Kostopanagiotou G., Arkadopoulos N., Theodoraki K., et al., Development of a novel extracorporeal liver support system (liver graft). Haemodynamic study in healthy animals. (8th European Congress of Intensive Care Medicine, 18-22/10/95). *Intensive Care Medicine*, 1995, 21 (1): 227.
4. Kostopanagiotou G., Arkadopoulos N., Theodoraki K., Athanassiou L., Papalois A., Prahalias A., Smyrniotis B., Papadimitriou J., Evaluation of an extracorporeal liver support system (liver graft) in an experimental model of acute liver failure (9th European Congress of Intensive Care Medicine, 24-28/9/96). *Intensive Care Medicine*, 1996, 22 (3): S313.
5. Seglen P. O., Preparation of isolated liver cells methods. *Cell Biology*, 1976, 13: 29-83
6. Rozga J., Holzman M., Man-Soo R., et al., Development of a hybrid bioartificial liver. *Annals of Surgery*, 1993, 217 (5): 502-11.
7. Arkadopoulos N., Papalois A., Karvouni E., Papalois B., Pataryas Th., Golematis B., Papadimitriou J., Isolation of hepatocytes from a human amyloid liver. *Transplantation Proceedings*, 1994, 26 (6): 3385-3386.
8. Papalois A., Arkadopoulos N., Kostopanagiotou G., Theodoraki K., Pevereto P., Golematis B., Papadimitriou J., Experimental xenotransplantation of fresh isolated and cryopreserved pig hepatocytes. Biochemical and morphological study. *Transplantation Proceedings*, accepted for publication (1997).
9. Lazar A., Peshwa M., Wu F., Chi C., Cerra F., Hu W., Formation of porcine hepatocytes spheroids for use in a bioartificial liver. *Cell Transplantation*, 1995, 4 (3): 259-268.

S U M M A R Y

**Liver or hepatocytes? Functional and morphological evaluation
of two extracorporeal liver support systems**

The increased incidence of fulminant —viral and toxic— hepatic failure (FHF) and the severe shortage of cadaveric liver donors have stressed the need for the development of liver support systems, which will be used as tem-

porary metabolic support of FHF patients until the host liver regenerates or a suitable graft is provided.

The aim of the present study was to compare functionally and pathologically two extracorporeal liver support systems: One with the use of a whole liver graft and an another one with the use of isolated hepatocytes (bioartificial liver). Experimental development of FHF was established by liver devascularisation (surgical technique) in the swines. For hepatocyte isolation a modification of the Seglen technique was used. The isolated hepatocytes ($1 - 5 \times 10^9$) were placed into the bioreactor, which was incorporeated in the extracorporeal circuit. The study of biochemical and haematological variables showed deterioration of hepatic function in the whole liver graft group. The morphology of the liver graft showed necrosis of the parenchyma according to the time. The application of the bioartificial liver improved hepatic function and offered the advantage of substitution of the bioreactor when it was necessary for further extension of the time of metabolic support.